

УДК 512.743+512.761.2

## Разрешения особенностей для многообразий Шуберта в двойных грассманианах

© 2008. Е. Ю. Смирнов

### §1. Введение

Пусть  $V$  — конечномерное векторное пространство над произвольным полем  $\mathbb{K}$ .

Мы будем описывать пары подпространств пространства  $V$  фиксированных размерностей  $k$  и  $l$  с точностью до действия группы невырожденных верхнетреугольных матриц  $B \subset \mathrm{GL}(V)$ . Другими словами, мы описываем  $B$ -орбиты на прямом произведении  $X = \mathrm{Gr}(k, V) \times \mathrm{Gr}(l, V)$  двух грассмановых многообразий. Разложение многообразия  $X$  на  $B$ -орбиты является аналогом шубертовского разложения для грассманианов и разложения Эрсмана–Брюа для многообразий полных флагов.

Комбинаторное описание  $B$ -орбит на  $X$  приводится (как частный случай некоторой более общей задачи) в работе Мадьяра, Веймана и Зелевинского [7] и существенно использует теорию колчанов. Приводимое ниже описание опирается лишь на элементарную линейную алгебру и не использует результатов из [7]. Оно является обобщением описания орбит в симметрическом пространстве  $\mathrm{GL}_{k+l}/(\mathrm{GL}_k \times \mathrm{GL}_l)$ , приведенного в диссертации Пина [8].

Нас также интересуют замыкания  $B$ -орбит в  $X$ . Они являются аналогами многообразий Шуберта в грассманианах. Особенности многообразий Шуберта хорошо изучены: для них имеются разрешения, построенные Боттом и Самельсоном; известно, что многообразия Шуберта являются нормальными, а их особенности рациональны; множества их особых точек могут быть явно описаны. Подробнее об этом можно прочитать, например, в лекциях [2] и книге [6]. Таким образом, было бы естественно задать те же вопросы (разрешение особенностей, нормальность, рациональность) и для замыканий  $B$ -орбит в  $X$ . В настоящей работе строятся разрешения особенностей для этих многообразий.

Мотивировкой для рассмотрения этих вопросов является также недавняя статья Бобинского и Звары [3], в которой доказывается, что особенности замыканий орбит в представлениях колчанов типа  $D$  эквивалентны особенностям многообразий Шуберта в двойных грассманианах.

Автор благодарит Мишеля Бриона за постоянное внимание к работе, а также Э. Б. Винберга и Д. А. Тимашёва за ценные обсуждения и замечания.

### §2. Описание орбит

**2.1. Обозначения.** Пусть  $V$  — векторное пространство размерности  $n$  над полем  $\mathbb{K}$ ,  $k, l < n$  — натуральные числа. Результаты, приведенные в этом параграфе, верны над произвольным основным полем; в §§3, 4 требуется, чтобы поле  $\mathbb{K}$  было алгебраически замкнутым. Прямое произведение  $\mathrm{Gr}(k, V) \times \mathrm{Gr}(l, V)$

будет обозначаться через  $X$ . Как правило, мы не будем различать точки в  $X$  и соответствующие конфигурации подпространств  $(U, W)$ , где  $U, W \subset V$ ,  $\dim U = k$ ,  $\dim W = l$ .

Мы фиксируем борелевскую подгруппу  $B$  в  $\mathrm{GL}(V)$ . Через  $V_\bullet = (V_1, \dots, V_n = V)$  будет обозначаться полный флаг в  $V$ , неподвижный относительно группы  $B$ .

**Комбинаторное описание.** В этой части вводятся комбинаторные объекты, параметризующие пары подпространств с точностью до действия группы  $B$ . А именно, пары подпространств параметризуются тройками, состоящими из двух диаграмм Юнга, которые содержатся в прямоугольниках размера  $k \times (n - k)$  и  $l \times (n - l)$  соответственно, и инволютивной перестановки из  $S_n$ .

Параллельно с введением этих комбинаторных объектов мы строим некоторые «канонические» базисы пространств  $U$ ,  $W$  и  $V$ .

**Предложение 1.** (i) *Существуют такие упорядоченные базисы  $(u_1, \dots, u_k)$ ,  $(w_1, \dots, w_l)$  и  $(v_1, \dots, v_n)$  пространств  $U$ ,  $W$  и  $V$  соответственно, что*

- $V_i = \langle v_1, \dots, v_i \rangle$  для всех  $i \in \{1, \dots, n\}$  (угловые скобки обозначают линейную оболочку векторов);
- $u_i = v_{\alpha_i}$ , где  $i \in \{1, \dots, k\}$  и  $\{\alpha_1, \dots, \alpha_k\} \subset \{1, \dots, n\}$ ;
- все  $w_i$  суть либо базисные векторы пространства  $V$ , либо векторы с двухэлементным «носителем»:  $w_i = v_{\beta_i}$  или  $w_i = v_{\gamma_i} + v_{\delta_i}$ , где  $\gamma_i > \delta_i$ ; кроме того, в последнем случае  $v_{\gamma_i} \in U$  (т. е.  $\{\gamma_1, \dots, \gamma_r\} \subset \{\alpha_1, \dots, \alpha_k\}$ );
- все числа  $\beta_i$  (соответственно  $\gamma_i, \delta_i$ ) различны между собой; кроме того, все  $\delta_i$  отличны от всех  $\alpha_i$ .

(ii) *В обозначениях п. (i) рассмотрим перестановку  $\sigma \in S_n$ , получаемую как произведение транспозиций  $(\delta_i, \gamma_i)$ . Поскольку носители транспозиций не пересекаются, результат их перемножения не зависит от порядка сомножителей.*

*Тогда для данной пары подпространств  $(U, W)$  множества  $\bar{\alpha} = \{\alpha_1, \dots, \alpha_k\}$ ,  $\bar{\beta} = \{\beta_1, \dots, \beta_{l-r}\}$ ,  $\bar{\gamma} = \{\gamma_1, \dots, \gamma_r\}$  и перестановка  $\sigma$  не зависят от выбора базисов в  $U$ ,  $W$  и  $V$ .*

**Доказательство.** (i) Доказательство проводится индукцией по  $n$ .

При  $n = 1$  утверждение очевидно.

Индуктивный переход от  $n - 1$  к  $n$ . Возьмем ненулевой вектор  $v_1 \in V_1$  и рассмотрим следующие случаи:

•  $v_1 \notin U + W$ . Пусть  $\bar{V} = V/\langle v_1 \rangle$ . Возьмем в этом факторпространстве флаг  $\bar{V}_\bullet = (\bar{V}_2 \subset \dots \subset \bar{V}_n)$  и рассмотрим образ  $(\bar{U}, \bar{W})$  конфигурации  $(U, W)$  при факторизации. Оба полученных подпространства будут изоморфны исходным:  $\bar{U} \cong U$  и  $\bar{W} \cong W$ . Теперь применим предположение индукции к данной конфигурации следующим образом. Выберем в  $\bar{U}$ ,  $\bar{W}$  и  $\bar{V}$  упорядоченные базисы  $\{\bar{u}_1, \dots, \bar{u}_k\}$ ,  $\{\bar{w}_1, \dots, \bar{w}_l\}$  и  $\{\bar{v}_1, \dots, \bar{v}_{n-1}\}$ , после чего выделим  $\bar{V}$  в  $V$  прямым слагаемым:  $\iota: \bar{V} \hookrightarrow V$ . «Поднимем» указанные базисные векторы из  $\bar{V}$  в  $V$  следующим образом:  $u_i = \iota(\bar{u}_i)$ ,  $w_i = \iota(\bar{w}_i)$ ,  $v_i = \iota(\bar{v}_{i-1})$ . Получим искомую тройку базисов.

•  $v_1 \in U$ ,  $v_1 \notin W$ . Положим  $u_1 = v_1$  и вновь применим предположение индукции к факторпространству  $\bar{V} = V/\langle v_1 \rangle$  с флагом  $\bar{V}_\bullet$  и конфигурации подпространств  $(\bar{U}, \bar{W})$ , получающихся из  $U$  и  $W$  при факторизации. В этом случае  $\dim \bar{U} = \dim U - 1$ . После этого опять поднимем полученные векторы из  $\bar{U}$ ,  $\bar{W}$  и  $\bar{V}$  в  $V$ .

• Случай  $v_1 \notin U$ ,  $v_1 \in W$  разбирается аналогично предыдущему (полагаем  $w_1 = v_1$ ).

• Если  $v_1 \in U \cap W$ , положим  $u_1 = w_1 = v_1$  и вновь применим предположение индукции.

• Наиболее интересен последний случай:  $v_1 \in U + W$ , но  $v_1 \notin U$  и  $v_1 \notin W$ . Тогда рассмотрим множество векторов  $S = \{v \mid v \in U, v_1 + v \in W\}$ . Поскольку  $v_1$  принадлежит  $U + W$ , это множество непусто. Пусть теперь  $j$  — минимальное число, для которого  $V_j$  содержит векторы из  $S$ , и  $v_j \in V_j \cap S$ . Положим  $u_1 = v_j$ ,  $w_1 = v_1 + v_j$ . Теперь применим предположение индукции к  $(n-2)$ -мерному пространству  $\tilde{V} = V/\langle v_1, v_j \rangle$ , паре подпространств  $\tilde{U} = U/\langle v_1, v_j \rangle$ ,  $\tilde{W} = W/\langle v_1, v_j \rangle$  и флагу

$$\tilde{V}_\bullet = V_2/V_1 \subset \dots \subset V_{j-1}/V_1 = V_j/\langle v_1, v_j \rangle \subset V_{j+1}/\langle v_1, v_j \rangle \subset \dots \subset V_n/\langle v_1, v_j \rangle.$$

«Подъем» базисных векторов из  $\tilde{V}$  в  $V$  осуществляется так:

$$v_i = \iota(\tilde{v}_{i-1}) \quad \text{при } i \in [2, j-1], \quad v_i = \iota(\tilde{v}_{i-2}) \quad \text{при } i \in [j+1, n],$$

где  $\iota$ , как и прежде, обозначает некоторое вложение  $\tilde{V}$  в  $V$ . Векторы  $v_1$  и  $v_j$  уже были определены ранее.

(ii) Предположим, что для конфигурации  $(U, W)$  существуют две тройки упорядоченных базисов  $((u_1, \dots, u_k), (w_1, \dots, w_l), (v_1, \dots, v_n))$  и  $((u'_1, \dots, u'_k), (w'_1, \dots, w'_l), (v'_1, \dots, v'_n))$ , которые удовлетворяют условиям п. (i) и для которых либо соответствующие этим тройкам базисов наборы  $(\bar{\alpha}, \bar{\beta}, \bar{\gamma})$  и  $(\bar{\alpha}', \bar{\beta}', \bar{\gamma}')$ , либо перестановки  $\sigma$  и  $\sigma'$  отличны друг от друга.

Множество  $\bar{\alpha}$  может быть описано следующим образом:  $i \in \bar{\alpha}$  тогда и только тогда, когда  $\dim U \cap V_i > \dim U \cap V_{i-1}$ . Следовательно,  $\bar{\alpha} = \bar{\alpha}'$ .

Аналогично доказывается, что  $\bar{\beta} \cup \bar{\gamma} = \bar{\beta}' \cup \bar{\gamma}'$ .

Теперь докажем, что  $\sigma = \sigma'$ . Тем самым доказательство будет закончено, поскольку  $\bar{\beta} = \{j \in \bar{\beta} \cup \bar{\gamma} \mid \sigma(j) = j\}$ .

Пусть  $j$  — минимальное число из  $\bar{\beta} \cup \bar{\gamma}$ , для которого  $\sigma(j) \neq \sigma'(j)$ . Предположим, что  $\sigma(j) < \sigma'(j)$ . Возможны два варианта:

(а)  $i := \sigma'(j) \neq j$ . Заметим, что  $i \notin \bar{\alpha}$ . Рассмотрим подпространство

$$\begin{aligned} \tilde{V} &= (U \cap V_j) + V_{i-1} = \langle v_s, v_{\alpha_i} \mid s \leq i-1, \alpha_i \in \bar{\alpha} \cup [i, j] \rangle \\ &= \langle v'_s, v'_{\alpha_i} \mid s \leq i-1, \alpha_i \in \bar{\alpha}' \cup [i, j] \rangle. \end{aligned}$$

Пусть  $R = \{r \in \bar{\beta} \cup \bar{\gamma} \mid r, \sigma(r) \in [1, i-1] \cup (\bar{\alpha} \cap [i, j])\}$  и  $R' = \{r \in \bar{\beta} \cup \bar{\gamma} \mid r, \sigma'(r) \in [1, i-1] \cup (\bar{\alpha} \cap [i, j])\}$ . Легко убедиться, что

$$\dim \tilde{V} \cap W = \#R = \#R'.$$

Но  $\sigma(r) = \sigma'(r)$  для всех  $r \in [1, j-1]$ , а  $j$  принадлежит множеству  $R$  и не принадлежит  $R'$ . Значит, количество элементов в этих двух множествах различно, что и дает искомое противоречие.

(б) Если  $\sigma'(j) = j$ , положим  $i = \sigma(j)$  и будем действовать аналогично тому, как действовали в п. (а).

Теперь введем комбинаторную конструкцию, параметризующую конфигурации подпространств. А именно, по конфигурации мы построим пару диаграмм Юнга, некоторые клетки в которых будут отмечены.

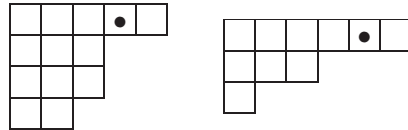
Рассмотрим пару подпространств  $(U, W)$ . Построим по этой паре, как описано в предложении 1, множества  $\bar{\alpha}$ ,  $\bar{\beta}$ ,  $\bar{\gamma}$  и инволюцию  $\sigma$ . Рассмотрим прямоугольник размера  $k \times (n - k)$  и построим путь из его левого нижнего угла в правый верхний следующим образом:  $j$ -е звено пути будет вертикальным, если  $j$  принадлежит  $\bar{\alpha}$  (т. е. если  $v_j$  равняется какому-то из  $u_i$ ), и горизонтальным в противном случае. Этот путь ограничивает снизу первую диаграмму Юнга.

Вторая диаграмма будет содержаться в прямоугольнике размера  $l \times (n - l)$ . Мы снова построим ограничивающий ее путь:  $j$ -е звено пути будет вертикальным, если  $j \in \bar{\beta} \cup \bar{\gamma}$ , и горизонтальным в противном случае.

Если  $j \in \bar{\gamma}$ , то звено пути с номером  $\sigma(j)$  горизонтально. Из этого также следует, что  $j$ -е звено пути, ограничивающего первую диаграмму, вертикально, а  $\sigma(j)$ -е горизонтально. Возьмем в каждой из диаграмм клетку, находящуюся над  $\sigma(j)$ -м звеном и слева от  $j$ -го звена, и поместим в этих клетках по точке.

Назовем такую пару диаграмм *отмеченной парой*.

**Пример.** Пусть  $n = 9$ ,  $k = 4$ ,  $l = 3$ . Предположим, что  $\bar{\alpha} = \{3, 5, 6, 9\}$ ,  $\bar{\beta} = \{2, 5\}$ ,  $\bar{\gamma} = \{9\}$ ,  $\sigma = (7, 9)$ . Тогда соответствующая отмеченная пара диаграмм выглядит так:



**Замечание.** Отметим, что построенные диаграммы (как диаграммы без точек) совпадают с диаграммами, которые соответствуют клеткам Шуберта, содержащим точки  $U \in \text{Gr}(k, V)$  и  $W \in \text{Gr}(l, V)$ . (Соответствие между диаграммами Юнга и клетками Шуберта в грассманиане описано, например, в книгах [4] или [6]).

**2.3. Стабилизаторы и размерности орбит.** Найдем стабилизатор  $B_{(U,W)}$  данной конфигурации подпространств  $(U, W)$ .

**Предложение 2.** В обозначениях предложения 1 стабилизатор конфигурации  $(U, W)$ , записанный в базисе  $(v_1, \dots, v_n)$ , состоит из верхнетреугольных матриц  $A = (a_{ij}) \in B$ , удовлетворяющих следующим условиям:

- (a)  $a_{\gamma\gamma} = a_{\sigma(\gamma)\sigma(\gamma)}$  для всех  $\gamma \in \bar{\gamma}$ ;
- (b)  $a_{i\alpha} = 0$  для всех  $\alpha \in \bar{\alpha}$ ,  $i \notin \bar{\alpha}$ ;
- (c)  $a_{j\beta} = 0$  для всех  $\beta \in \bar{\beta}$  и  $j \notin \bar{\beta} \cup \bar{\gamma} \cup \sigma(\bar{\gamma})$ ;
- (d)  $a_{\gamma\beta} = a_{\sigma(\gamma)\beta}$  для всех  $\beta \in \bar{\beta}$  и  $\gamma \in \bar{\gamma}$ ,  $\gamma < \beta$ ;
- (e)  $a_{j\gamma} = -a_{j\sigma(\gamma)}$  для всех  $j \notin \bar{\beta} \cup \bar{\gamma} \cup \sigma(\bar{\gamma})$  и  $\gamma \in \bar{\gamma}$ ;
- (f) для всех  $\gamma_1, \gamma_2 \in \bar{\gamma}$ ,  $\gamma_1 < \gamma_2$  имеет место один из следующих случаев:
  - $\sigma(\gamma_2) < \sigma(\gamma_1) < \gamma_1 < \gamma_2$ : тогда  $a_{\gamma_1\gamma_2} = a_{\sigma(\gamma_1)\gamma_2} = a_{\sigma(\gamma_2)\gamma_1} = a_{\sigma(\gamma_1)\sigma(\gamma_2)} = 0$ ;
  - $\sigma(\gamma_1) < \sigma(\gamma_2) < \gamma_1 < \gamma_2$ : тогда  $a_{\sigma(\gamma_2)\gamma_1} = a_{\sigma(\gamma_1)\gamma_2} = 0$ ,  $a_{\gamma_1\gamma_2} = a_{\sigma(\gamma_1)\sigma(\gamma_2)}$ ;
  - $\sigma(\gamma_1) < \gamma_1 < \sigma(\gamma_2) < \gamma_2$ : тогда  $a_{\sigma(\gamma_1)\gamma_2} = 0$ ,  $a_{\gamma_1\gamma_2} + a_{\gamma_1\sigma(\gamma_2)} = a_{\sigma(\gamma_1)\sigma(\gamma_2)}$ .

**Следствие 3.** Стабилизатор конфигурации  $(U, W)$  есть полупрямое произведение торической и унитарной частей:

$$B_{(U,W)} = T_{(U,W)} \ltimes U_{(U,W)},$$

где  $T_{(U,W)}$  есть подгруппа в группе невырожденных диагональных матриц, определяемая условиями (a), так что  $\dim T_{(U,W)} = n - \#\bar{\gamma}$ , а  $U_{(U,W)}$  есть подгруппа в группе унитарных матриц, определяемая условиями (b)–(f).

**Определение.** Коразмерность торической части стабилизатора называется рангом конфигурации (или соответствующей  $B$ -орбиты):

$$\text{rk}(U, W) := n - \dim T_{(U,W)} = \#\bar{\gamma}.$$

**Доказательство предложения 2.** Прежде всего, стабилизатор  $B_{(U,W)}$  является подгруппой в  $B$ , а следовательно, состоит из верхнетреугольных матриц.

Далее, он сохраняет подпространство  $U = \langle v_{\alpha_1}, \dots, v_{\alpha_k} \rangle$ . Это значит, что всякий элемент  $A \in B_{(U,W)}$  переводит каждый из  $v_{\alpha_i}$  в линейную комбинацию элементов  $v_{\alpha_j}$ , и поэтому все матричные элементы  $a_{i\alpha}$ , где  $\alpha \in \bar{\alpha}$ ,  $i \notin \bar{\alpha}$ , равны нулю. (Заметим, что нули в матрице  $A$  сами образуют повернутую на  $90^\circ$  по часовой стрелке диаграмму Юнга, соответствующую подпространству  $U$ . В частности, это доказывает, что размерность клетки Шуберта в грассманиане равна числу клеток в соответствующей диаграмме Юнга).

Итак, клетки первой диаграммы Юнга находятся во взаимно однозначном соответствии с линейными уравнениями, задающими  $B_U$  в группе верхнетреугольных матриц: клетка, расположенная над  $i$ -м (горизонтальным) звеном и слева от  $j$ -го (вертикального) звена (обозначим ее через  $(i, j)$ ) соответствует уравнению  $a_{ij} = 0$ .

Аналогично, стабилизатор нашей конфигурации сохраняет подпространство  $W$ . Это дает другой набор линейных уравнений на матричные элементы  $a_{ij}$ , и число этих уравнений равно числу клеток во второй диаграмме соответствующей отмеченной пары. Мы снова можем установить взаимно однозначное соответствие между клетками этой диаграммы и полученными уравнениями, обозначая клетки диаграммы, как в предыдущем абзаце. Вот это соответствие:

- $a_{j\beta} = 0$  для всех  $\beta \in \bar{\beta}$  и  $j \notin \bar{\beta} \cap \bar{\gamma} \cap \sigma(\bar{\gamma})$ ,  $j < \beta$ ; это соответствует клетке  $(j, \beta)$ ;
- $a_{j\gamma} = -a_{j\sigma(\gamma)}$  для всех  $j \notin \bar{\beta} \cup \bar{\gamma} \cup \sigma(\bar{\gamma})$  и  $\gamma \in \bar{\gamma}$ ,  $j < \gamma$ ; соответствующая клетка — это  $(j, \gamma)$ ;
- $a_{\sigma(\gamma)\gamma} + a_{\gamma\gamma} - a_{\sigma(\gamma)\sigma(\gamma)} = 0$  при всех  $\gamma \in \bar{\gamma}$ ; соответствующая клетка — это  $(\sigma(\gamma), \gamma)$ ;
- $a_{\gamma\beta} = a_{\sigma(\gamma)\beta}$  при всех  $\beta \in \bar{\beta}$  и  $\gamma \in \bar{\gamma}$ ,  $\gamma < \beta$ ; это соответствует клетке  $(\sigma(\gamma), \beta)$ ;
- $a_{\sigma(\gamma_1)\sigma(\gamma_2)} + a_{\sigma(\gamma_1)\gamma_2} = a_{\gamma_1\sigma(\gamma_2)} + a_{\gamma_1\gamma_2}$  для всех  $\gamma_1 < \gamma_2$ ; это уравнение соответствует клетке  $(\sigma(\gamma_1), \gamma_2)$ .

Это доказывает предложение.  $\square$

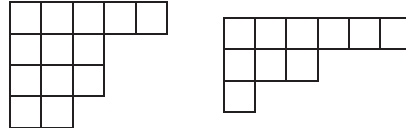
Найдя стабилизатор конфигурации, мы можем отыскать его размерность, а значит, и размерность орбиты  $B(U, W) \subset X$ . Анализируя приведенные выше уравнения, можно найти комбинаторную интерпретацию размерности в терминах отмеченных диаграмм Юнга.

Для этого введем еще одно комбинаторное понятие. Пусть имеются два прямоугольника размера  $k \times (n - k)$  и  $l \times (n - l)$  соответственно и путь в каждом из них, ограничивающий диаграмму Юнга (оба пути имеют длину  $n$ ). Рассмотрим множество всех чисел  $i$ , для которых  $i$ -е звенья обоих путей горизонтальны, и

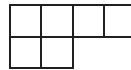
рассмотрим столбцы в диаграммах, лежащие над этими звеньями. Затем сделаем то же самое для пар «одновременно вертикальных» звеньев и рассмотрим строки слева от них.

Пересечение этих строк и столбцов также образует диаграмму Юнга. Назовем ее *общей диаграммой*, соответствующей данной паре диаграмм.

**Пример.** Пары  $(Y_1, Y_2)$  диаграмм Юнга



соответствует следующая общая диаграмма  $Y_{\text{com}}$ :



Согласно нашей конструкции отмеченных пар, точки могут содержаться только в общей диаграмме отмеченной пары.

**Следствие 4.** Пусть  $(U, W)$  — конфигурация подпространств, которой соответствует отмеченная пара диаграмм Юнга  $(Y_1, Y_2)$  с точками в некоторых клетках диаграммы  $Y_{\text{com}}$ .

Углом с вершиной в данной клетке будем называть фигуру, образованную этой клеткой и всеми клетками, находящимися над ней в том же столбце и слева от нее в той же строке. Возьмем в диаграмме  $Y_{\text{com}}$  все углы с вершинами в клетках, содержащих точки. Пусть  $H$  — множество клеток, принадлежащих хотя бы одному из этих углов. Тогда размерность  $B$ -орбиты конфигурации  $(U, W)$  равна

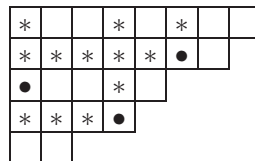
$$\dim B(U, W) = \#Y_1 + \#Y_2 - \#Y_{\text{com}} + \#H,$$

где через  $\#Y$  обозначено количество клеток в диаграмме  $Y$ .

**Замечание.**  $\#H$  равняется общему числу клеток, содержащихся во всех углах, а не сумме длин углов. Это означает, что клетку, содержащуюся в двух углах, следует считать один, а не два раза.

**Доказательство следствия 4.** В доказательстве предложения 2 рассматриваются две системы линейных уравнений на матричные элементы  $a_{ij}$ . Эти системы задают стабилизаторы подпространств  $U$  и  $W$  и состоят из  $\#Y_1$  и  $\#Y_2$  уравнений соответственно. Легко видеть, что уравнения, соответствующие клетке  $(i, j)$ , совпадают в обеих системах, если клетка  $(i, j)$  общей диаграммы не содержится ни в каком угле, а также что система уравнений, полученная в результате объединения этих двух систем, линейно независима. Поэтому коразмерность стабилизатора  $B_{(U,W)}$  в  $B$  (т. е. размерность орбиты  $B(U, W)$ ) равна  $\#Y_1 + \#Y_2 - \#Y_{\text{com}} + \#H$ .  $\square$

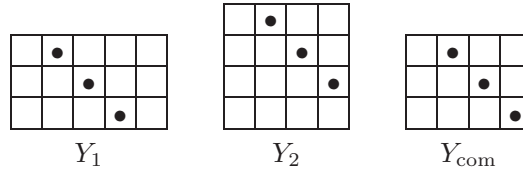
**Пример.** Пусть общая диаграмма для отмеченной пары имеет вид



Тогда  $\#Y_{\text{com}} = 26$ ,  $\#H = 15$  ( $H$  состоит из всех клеток, отмеченных точкой или звездочкой).

В частности, формула для размерности позволяет описать наименьшую (т. е. наиболее вырожденную) и наибольшую орбиты. Наименьшая орбита нульмерна и соответствует паре пустых диаграмм. Она состоит из одной точки  $(\langle v_1, \dots, v_k \rangle, \langle v_1, \dots, v_l \rangle) \in X$ . Обе диаграммы Юнга, соответствующие наибольшей орбите, являются прямоугольниками размера  $k \times (n - k)$  и  $l \times (n - l)$  соответственно. Их общая диаграмма также есть прямоугольник размера  $\min\{k, l\} \times (n - \max\{k, l\})$ , точки в котором располагаются по главной диагонали, начинающейся в нижнем правом углу.

**Пример.** Для  $n = 8$ ,  $k = 3$  и  $l = 4$  наибольшей орбите соответствует такая отмеченная пара:



**2.4. Разложение многообразия  $X$  в объединение  $\text{GL}(V)$ -орбит.**  $\text{GL}(V)$ -орбиты в  $X$  допускают существенно более простое описание: они параметризуются только одним целым положительным числом, а именно, размерностью пересечения подпространств  $U$  и  $W$ . Для этого числа (обозначим его через  $i$ ) имеются неравенства

$$\max\{0, k + l - n\} \leq i \leq \min\{k, l\}.$$

Обозначим соответствующую  $\text{GL}(V)$ -орбиту через  $X_i$ :

$$X = \bigsqcup_{i \in [\max\{0, k+l-n\}, \min\{k, l\}]} X_i.$$

Из конструкции комбинаторных данных, соответствующих  $B$ -орбитам, следует, что размерность пересечения  $\dim(U \cap W)$  равна  $\#(\bar{\alpha} \cap \bar{\beta})$ .

### §3. Слабый порядок на множестве орбит

В предыдущем параграфе мы описали множество  $B$ -орбит в  $\text{Gr}(k, V) \times \text{Gr}(l, V)$ . На этом множестве существует несколько структур частичного порядка. Первая, и наиболее естественная, описывается так:

**Определение.** Пусть  $\mathcal{O}$  и  $\mathcal{O}'$  — две  $B$ -орбиты в  $\text{Gr}(k, V) \times \text{Gr}(l, V)$ . Скажем, что  $\mathcal{O}$  не превосходит  $\mathcal{O}'$  относительно *сильного* (или *топологического*) *порядка*, если  $\mathcal{O} \subset \bar{\mathcal{O}'}$  (здесь и далее черта над символом обозначает замыкание в топологии Зарисского). Обозначение:  $\mathcal{O} \leq \mathcal{O}'$ .

На этом множестве существует и другой порядок, обычно называемый *слабым*. Обозначения, используемые ниже, взяты из работы [1].

Пусть  $W$  — группа Вейля для  $\text{GL}(n)$ , а  $\Delta$  — соответствующая система корней. Обозначим простые отражения через  $s_1, \dots, s_{n-1}$ , а соответствующие простые корни через  $\alpha_1, \dots, \alpha_{n-1}$ . Пусть  $P_i = B \cup Bs_iB$  — минимальная параболическая подгруппа в  $\text{GL}(V)$ , соответствующая простому корню  $\alpha_i$ .



Будем говорить, что  $\alpha_i$  *поднимает* орбиту  $\mathcal{O}$  до орбиты  $\mathcal{O}'$ , если  $\bar{\mathcal{O}}' = P_i \bar{\mathcal{O}} \neq \bar{\mathcal{O}}$ . В этом случае  $\dim \mathcal{O}' = \dim \mathcal{O} + 1$ . Это понятие позволит нам определить слабый порядок.

**Определение.** Орбита  $\mathcal{O}$  меньше или равна орбите  $\mathcal{O}'$  относительно *слабого порядка* (обозначение:  $\mathcal{O} \preceq \mathcal{O}'$ ), если  $\bar{\mathcal{O}}'$  может быть получена как результат нескольких последовательных «поднятий» замыкания орбиты  $\mathcal{O}$  при помощи минимальных параболических подгрупп:

$$\mathcal{O} \preceq \mathcal{O}' \iff \exists(i_1, \dots, i_r): \bar{\mathcal{O}}' = P_{i_r} \dots P_{i_1} \bar{\mathcal{O}} = \overline{P_{i_r} \dots P_{i_1} \mathcal{O}}.$$

Будем представлять это отношение порядка при помощи ориентированного графа. Рассмотрим граф  $\Gamma(X)$ , вершинами которого являются  $B$ -орбиты в  $X$ . Соединим  $\mathcal{O}$  и  $\mathcal{O}'$  ребром с меткой  $i$ , направленным к  $\mathcal{O}'$ , если  $P_i$  поднимает  $\mathcal{O}$  до орбиты  $\mathcal{O}'$ .

Ясно, что каждая связная компонента графа  $\Gamma(X)$  состоит из всех орбит, принадлежащих одной и той же  $\mathrm{GL}(V)$ -орбите  $X_i$ , и что во всякой связной компоненте имеется наибольший элемент, т. е.  $B$ -орбита, открытая в  $X_i$ .

Наша следующая цель состоит в описании минимальных элементов относительно слабого порядка в каждой из связных компонент.

**3.1. Комбинаторное описание действия минимальных параболических подгрупп.** Рассмотрим орбиту  $\mathcal{O}$  и соответствующие ей комбинаторные данные: множества  $\bar{\alpha}$ ,  $\bar{\beta}$ ,  $\bar{\gamma}$  и инволюцию  $\sigma \in S_n$ . Пусть минимальная параболическая подгруппа  $P_i = B \cup Bs_iB$  поднимает орбиту  $\mathcal{O}$  до орбиты  $\mathcal{O}' \neq \mathcal{O}$ . Опишем комбинаторные данные  $(\bar{\alpha}', \bar{\beta}', \bar{\gamma}', \sigma')$  для орбиты  $\mathcal{O}'$ .

Обозначим простую транспозицию  $(i, i+1) \in S_n$  через  $\tau_i$ .

Возможны следующие случаи:

1. Пусть

$$i \in \bar{\alpha}, \quad i \notin \bar{\beta}, \quad i+1 \notin \bar{\alpha}, \quad i+1 \in \bar{\beta}$$

или, наоборот,

$$i \notin \bar{\alpha}, \quad i \in \bar{\beta}, \quad i+1 \in \bar{\alpha}, \quad i+1 \notin \bar{\beta}.$$

Эти два варианта соответствуют двум орбитам, которые могут быть подняты при помощи  $P_i$  до  $\mathcal{O}'$ . В этом случае комбинаторные данные для  $\mathcal{O}'$  выглядят так:

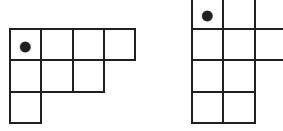
$$\bar{\alpha}' = \bar{\alpha} \cup \{i+1\} \setminus \{i\}, \quad \bar{\beta}' = \bar{\beta} \setminus \{i, i+1\}, \quad \bar{\gamma}' = \bar{\gamma} \cup \{i+1\}, \quad \sigma' = \sigma \cdot \tau_i.$$

Отметим, что  $\mathrm{rk} \mathcal{O}' = \mathrm{rk} \mathcal{O} + 1$ ,  $\dim \mathcal{O}' = \dim \mathcal{O} + 1$ .

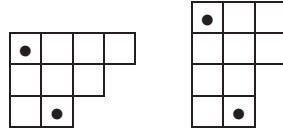
На языке отмеченных пар диаграмм это можно представить так. Если  $i$ -е и  $(i+1)$ -е звенья пути, который ограничивает первую диаграмму, образуют углубление (т. е. первое из них вертикально, а второе горизонтально), а соответствующие звенья для второй диаграммы образуют выступ (или же, наоборот, на данном месте в первой диаграмме имеется выступ, а во второй — углубление), то обе эти пары звеньев заменяются на выступ, ограничивающий клетку с точкой.



**Пример.** Применим минимальную параболическую подгруппу  $P_2$  к орбите  $\mathcal{O} \subset \text{Gr}(3, 7) \times \text{Gr}(4, 7)$ , задаваемой отмеченной парой диаграмм



Полученная в результате поднятия орбита  $\mathcal{O}'$  будет задаваться отмеченной парой



2. Во всех остальных случаях  $\bar{\alpha}' = \tau_i(\bar{\alpha})$ ,  $\bar{\beta}' = \tau_i(\bar{\beta})$ ,  $\bar{\gamma}' = \tau_i(\bar{\gamma})$ , а перестановка  $\sigma'$  есть результат сопряжения перестановки  $\sigma$  при помощи  $\tau_i$ :

$$\bar{\sigma}' = \tau_i \sigma \tau_i.$$

Ранги исходной и полученной орбит равны:  $\text{rk } \mathcal{O}' = \text{rk } \mathcal{O}$ .

### 3.2. Минимальные орбиты.

**Лемма 5.** Все минимальные относительно слабого порядка  $B$ -орбиты в данной  $\text{GL}(V)$ -орбите имеют ранг 0.

**Доказательство.** Предположим противное. Пусть  $\mathcal{O}$  — минимальная орбита положительного ранга, и пусть ей соответствует набор комбинаторных данных  $(\bar{\alpha}, \bar{\beta}, \bar{\gamma}, \sigma)$ , причем  $\sigma \neq \text{Id}$ . Пусть  $p \in \bar{\gamma}$ ,  $p' = \sigma(p)$ . Без потери общности предположим, что ни для какого другого  $q \in \bar{\gamma}$  не выполнено условие  $p < q < \sigma(q) < p'$ .

Обозначим через  $C_1$  множество выступов в первой диаграмме, расположенных между  $p$ -м и  $p'$ -м звеньями, т.е. множество индексов  $i$ ,  $p \leq i < p'$ , для которых  $i$ -е звено в первой диаграмме горизонтально, а  $(i+1)$ -е вертикально. Пусть также  $D_1$  есть множество углублений т.е. таких  $i$ , что  $p \leq i < p'$  и при этом  $i$ -е звено вертикально, а  $(i+1)$ -е горизонтально.

Обозначим аналогичные множества для второй диаграммы через  $C_2$  и  $D_2$ . Заметим, что  $\#C_1 = \#D_1 + 1$  и  $\#C_2 = \#D_2 + 1$ , поскольку в обеих диаграммах  $p$ -е звено горизонтально, а  $p'$ -е вертикально.

Теперь рассмотрим такое число  $j$ , что  $j \in (C_1 \setminus D_2) \cup (C_2 \setminus D_1)$ . При помощи рассуждений из разд. 3.1 можно показать, что  $\bar{\mathcal{O}} = P_j \bar{\mathcal{O}}'$  для некоторой орбиты  $\bar{\mathcal{O}}'$ . Действительно, предъявим эту орбиту.

Если перестановка  $\sigma$  содержит транспозицию  $(j, j+1)$ , то комбинаторными данными для орбиты  $\bar{\mathcal{O}}'$  будут

$$\bar{\alpha}' = \bar{\alpha} \cup \{j\} \setminus \{j+1\}, \quad \bar{\beta}' = \bar{\beta} \cup \{j\}, \quad \bar{\gamma}' = \bar{\gamma} \setminus \{j+1\}, \quad \sigma' = \sigma \cdot \tau_j.$$

В противном случае  $\bar{\alpha}' = \tau_j(\bar{\alpha})$ ,  $\bar{\beta}' = \tau_j(\bar{\beta})$ ,  $\bar{\gamma}' = \tau_j(\bar{\gamma})$ ,  $\sigma' = \tau_j \sigma \tau_j$ .

Подсчет размерностей показывает, что  $\dim \bar{\mathcal{O}}' = \dim \bar{\mathcal{O}} - 1$ .

Остается показать, что множество  $(C_1 \setminus D_2) \cup (C_2 \setminus D_1)$  непусто:

$$\begin{aligned} \#((C_1 \setminus D_2) \cup (C_2 \setminus D_1)) &\geq \max(\#(C_1 \setminus D_2), \#(C_2 \setminus D_1)) \\ &\geq \max(\#C_1 - \#C_2 + 1, \#C_2 - \#C_1 + 1) \geq 1. \quad \square \end{aligned}$$

После этого можно найти все минимальные орбиты в  $X_d$ . Легко видеть, что им соответствуют следующие комбинаторные данные:

$$\bar{\alpha} \cup \bar{\beta} = \{1, \dots, k+l-d\}, \quad \bar{\alpha} \cap \bar{\beta} = \{1, \dots, d\}, \quad \bar{\gamma} = \emptyset, \quad \sigma = \text{Id}.$$

Размерности всех минимальных орбит в  $X_d$  равны  $(k-d)(l-d)$ . В частности, это означает, что они все замкнуты в  $X_d$  (поскольку  $X_d$  не содержит орбит меньших размерностей). Они соответствуют разложениям множества  $\{d+1, \dots, k+l-d\}$  на два непересекающихся подмножества,  $\bar{\alpha} \setminus \bar{\beta}$  и  $\bar{\beta} \setminus \bar{\alpha}$ . Поэтому их число равно биномиальному коэффициенту  $\binom{k+l-2d}{k-d}$ .

Также заметим, что пара диаграмм Юнга, соответствующая минимальной орбите, является дополнительной: эти две диаграммы, будучи сложенными вместе, образуют прямоугольник размера  $(k-d) \times (l-d)$ .

Поскольку общая диаграмма для каждой из пар диаграмм, соответствующих минимальным орбитам, пуста, то все минимальные  $B$ -орбиты также являются  $(B \times B)$ -орбитами, т. е. прямыми произведениями клеток Шуберта, взятых в каждом из двух грассманианов.

Эти результаты могут быть подытожены в виде следующей теоремы.

**Теорема 6.** *В каждом  $X_d$ , где  $d \in [\max\{k+l-n, 0\}, \min\{k, l\}]$ , содержится  $\binom{k+l-2d}{k-d}$  минимальных орбит. Они все замкнуты в  $X_d$ , имеют размерность  $(k-d)(l-d)$  и являются прямыми произведениями клеток Шуберта.*

#### §4. Разрешения особенностей для замыканий орбит

В этом параграфе строятся разрешения особенностей для замыканий  $B$ -орбит в  $X$ .

Для минимальной параболической подгруппы  $P_i$  и замыкания орбиты  $\bar{\mathcal{O}}$  рассмотрим морфизм

$$F_i: P_i \times {}^B\bar{\mathcal{O}} \rightarrow P_i\bar{\mathcal{O}}, \quad (p, x) \mapsto px.$$

Предположим, что  $\bar{\mathcal{O}} \neq P_i\bar{\mathcal{O}}$ . В работах Кнопа [5] и Ричардсона–Спрингера [9] показано, что при этом имеет место один из трех случаев:

- Тип U:  $P_i\bar{\mathcal{O}} = \mathcal{O}' \sqcup \bar{\mathcal{O}}$  и  $F_i$  бирационален;
- Тип N:  $P_i\bar{\mathcal{O}} = \mathcal{O}' \sqcup \bar{\mathcal{O}}$  и  $F_i$  имеет степень 2;
- Тип T:  $P_i\bar{\mathcal{O}} = \mathcal{O}' \sqcup \bar{\mathcal{O}} \sqcup \mathcal{O}''$  и  $F_i$  бирационален. В этом случае  $\dim \mathcal{O}'' = \dim \bar{\mathcal{O}}$ .

Оказывается, что в нашей ситуации тип N невозможен.

**Предложение 7.** *Пусть  $\mathcal{O}$  есть  $B$ -орбита в  $X$  и  $P_i$  — такая минимальная параболическая подгруппа, что  $P_i\bar{\mathcal{O}} \neq \bar{\mathcal{O}}$ . Тогда отображение  $F_i: P_i \times {}^B\bar{\mathcal{O}} \rightarrow P_i\bar{\mathcal{O}}$  бирационально.*

**Доказательство.** Выберем канонический представитель  $x$  орбиты  $\mathcal{O}$ , как это было сделано в предложении 1. Непосредственное вычисление показывает, что стабилизатор элемента  $x$  в  $P_i$  равняется его стабилизатору в  $B$ , описанному в предложении 2. Отсюда следует бирациональность отображения  $F_i$ .  $\square$

**Замечание.** Два оставшихся типа соответствуют двум случаям, описанным в разд. 3.1: T соответствует п. 1, а U — п. 2. В первом случае ранг орбиты увеличивается на 1, во втором остается неизменным. Поэтому слабый порядок совместим с функцией ранга: если  $\mathcal{O} \preceq \mathcal{O}'$ , то  $\text{rk } \mathcal{O} \leq \text{rk } \mathcal{O}'$ . Это верно и для про-

извольных сферических многообразий, см., например, [1]. Отметим, что сильный порядок с функцией ранга не совместим.

Предложение 7 вместе с теоремой 6 позволяет построить разрешения особенностей для  $\bar{\mathcal{O}}$ , аналогичные разрешениям Ботта–Самельсона для многообразий Шуберта в грассманианах.

Пусть дана орбита  $\mathcal{O}$ . Рассмотрим произвольную минимальную орбиту  $\mathcal{O}_{\min}$ , меньшую либо равную  $\mathcal{O}$  в смысле слабого порядка. Это значит, что существует последовательность минимальных параболических подгрупп  $(P_{i_1}, \dots, P_{i_r})$ , для которой

$$\bar{\mathcal{O}} = P_{i_r} \cdots P_{i_1} \bar{\mathcal{O}}_{\min}.$$

Рассмотрим отображение

$$F: P_{i_r} \times^B \cdots \times^B P_{i_1} \times^B \bar{\mathcal{O}}_{\min} \rightarrow \bar{\mathcal{O}}, \quad F: (p_{i_r}, \dots, p_{i_1}, x) \mapsto p_{i_r} \cdots p_{i_1} x.$$

Согласно предложению 7, оно бирационально. Но это пока еще не разрешение особенностей, поскольку  $\bar{\mathcal{O}}_{\min}$  может быть особым многообразием.

Второй шаг заключается в построении  $B$ -эквивариантного разрешения особенностей многообразия  $\bar{\mathcal{O}}_{\min}$ . Теорема 6 утверждает, что  $\bar{\mathcal{O}}_{\min}$  может быть представлено в виде прямого произведения

$$\bar{\mathcal{O}}_{\min} = X_w \times X_v$$

для некоторых многообразий Шуберта  $X_w \subset \text{Gr}(k, V)$  и  $X_v \subset \text{Gr}(l, V)$ .

Для  $X_w$  и  $X_v$  можно взять разрешение Ботта–Самельсона:

$$F_w: Z_w \rightarrow X_w \quad \text{и} \quad F_v: Z_v \rightarrow X_v.$$

(Подробности этого описаны, например, в [2]). Итак, мы получаем разрешение

$$F_w \times F_v: Z_w \times Z_v \rightarrow X_w \times X_v = \bar{\mathcal{O}}_{\min}.$$

Рассмотрев композицию этого отображения с отображением  $F$ , получаем основной результат работы:

**Теорема 8.** *Отображение*

$$\tilde{F} = F \circ (F_w \times F_v): P_{i_r} \times^B \cdots \times^B P_{i_1} \times^B (Z_w \times Z_v) \rightarrow \bar{\mathcal{O}}$$

есть разрешение особенностей для многообразия  $\bar{\mathcal{O}}$ .

**Доказательство.** Уже было показано, что оба отображения  $F$  и  $F_w \times F_v$  суть бирациональные морфизмы. Поскольку все рассматриваемые многообразия проективны, эти морфизмы являются собственными. Многообразие  $P_{i_r} \times^B \cdots \times^B P_{i_1} \times^B (Z_w \times Z_v)$  есть последовательность однородных  $B$ -расслоений с неособым слоем, и поэтому оно само является неособым.  $\square$

#### ЛИТЕРАТУРА

- [1] M. Brion, *On orbit closures of spherical subgroups in flag varieties*, Comment. Math. Helv., **76**:2 (2001), 263–299.
- [2] M. Brion, *Lectures on the geometry of flag varieties*, in: Topics in Cohomological Studies of Algebraic Varieties, Trends Math., Birkhäuser, Basel, 2005, 33–85.
- [3] G. Bobiński, G. Zwara, *Schubert varieties and representations of Dynkin quivers*, Colloq. Math., **94**:2 (2002), 285–309.
- [4] У. Фултон, *Таблицы Юнга и их приложения к теории представлений и геометрии*, МЦНМО, М., 2006.

- 
- [5] F. Кноп, *On the set of orbits for a Borel subgroup*, Comment. Math. Helv., **70**:2 (1995), 285–309.
- [6] L. Manivel, *Fonctions symétriques, polynômes de Schubert et lieux de dégénérescence*, Cours Spécialisés, 3, Soc. Math. France, Paris, 1998.
- [7] P. Magyar, J. Weyman, A. Zelevinsky, *Multiple flag varieties of finite type*, Adv. Math., **141**:1 (1999), 97–118.
- [8] S. Pin, *Adhérences d'orbites des sous-groupes de Borel dans les espaces symétriques*, Thèse de doctorat, Institut Fourier, Grenoble, 2001; <http://www-fourier.ujf-grenoble.fr/THESE/ps/t107.ps>.
- [9] R. W. Richardson, T. A. Springer, *The Bruhat order on symmetric varieties*, Geom. Dedicata, **35**:1–3 (1990), 389–436.

Независимый московский университет  
Institut Fourier  
e-mail: smirnoff@mccme.ru

Поступило в редакцию  
1 сентября 2006 г.